

## سنتر و بررسی اثرات حجم محلول اولیه، نوع زیرلایه و لایه‌های نازک دی‌اکسید تیتانیوم بر ویژگی‌های فیزیکی لایه‌های نازک دی‌اکسید تیتانیوم برای استفاده به عنوان فتوآند

حدیث تربیان، محمدباقر رحمانی\*

دانشکده فنیک، دانشگاه صنعتی شهرورد، شهرورد، ۳۶۱۹۹۹۵۱۶۱، ایران

(دریافت مقاله: ۱۴۰۰/۱۰/۲۷، نسخه نهایی: ۱۴۰۱/۱/۲۷)

**چکیده:** در این پژوهش، دی‌اکسید فلزی نیمرسانای قابل کاربرد در فتوآندسلول‌های خورشیدی رنگدانه‌ای بررسی و سنتر شد. به این منظور، لایه‌های نازک  $TiO_2$  با روش گرم‌اکافت افشارهای رشد داده شده و ویژگی‌های فیزیکی آن‌ها بررسی شدند. برای آماده‌سازی زیرلایه اکسید قلع آلاییده با فلئور (FTO) به عنوان لایه رسانا، لایه FTO روی شیشه لایه‌نشانی شد. لایه FTO سنتر شده با عبور بالای ۹۰ درصد در ناحیه مرئی و مقاومت الکتریکی کم مناسب استفاده به عنوان الکترود شفاف است. سپس لایه‌های  $TiO_2$  در دمای  $^{\circ}C$  ۱۵۰ بر دو زیرلایه شیشه و شیشه پوشش داده شده با FTO نشانده شدند. محلول اولیه برای گرم‌اکافت افشارهای از ماده اصلی ایزوپروپوکساید تیتانیوم و حلal ایزوپروپانول ساخته شد. نمونه‌ها با دو روش افشاردن پالسی و غیرپالسی و در دو حجم محلول اولیه ۲۰۰ و ۳۵۰ mL تهیه شدند. نتایج نشان داد که افشاردن پالسی محلول باعث شکل گیری لایه‌های  $TiO_2$  با ساختار بلوری با کیفیت‌تر می‌شود. الگوی پراش پرتوی ایکس XRD نشان‌دهنده تشکیل فاز آناتاز با قله ارجحی (۱۰۱) بر زیرلایه FTO است. نمونه  $TiO_2$  لایه‌نشانی شده به روش پالسی بر روی FTO در حجم محلول اولیه ۲۰۰ mL از نظر ویژگی‌های فیزیکی مناسب ترین نمونه برای استفاده به عنوان فتوآند شناسایی شد.

**واژه‌های کلیدی:** فتوآند؛ دی‌اکسید تیتانیوم؛ گرم‌اکافت افشارهای؛ مشخصه یابی؛ لایه نازک.

سلول خورشیدی متداول بر پایه نیمرسانا، یک پیوندگاه بین دو نیمرسانای نوع n و p وجود دارد و نور با بخورد به پیوندگاه باعث تولید زوج الکترون- حفره می‌شود. در سلول‌های خورشیدی نسل سوم، فرایند تولید الکترون و حفره از فرایند انتقال حامل اضافی تولید شده ناشی می‌شود، که بیشتر بر پایه استفاده از مواد آلی به جای نیمرسانا هاست [۲].

سلول‌های خورشیدی نسل سوم، به دلیل مزایای متعددی از جمله ارزان قیمت بودن، سهولت ساخت و کارایی مناسب بسیار مورد توجه قرار گرفته‌اند. سلول‌های خورشیدی حساس شده با رنگدانه (DSSC)، سلول‌های خورشیدی پروسکایتی (PSC) و سلول‌های خورشیدی آلی (OSC) در گروه سلول‌های خورشیدی نسل سوم قرار دارند [۱-۳]. در این رده‌بندی،

**مقدمه**  
از بهترین منابع تجدید شونده برای تأمین انرژی در دهه‌های آینده، انرژی خورشیدی است [۱]. تلاش‌ها برای استفاده از این منبع منجر به ساخت سلول‌های خورشیدی برای تولید انرژی شد. به این ترتیب، نسل‌های مختلفی از سلول‌های خورشیدی پدیدار گشت. نخستین نسل از سلول‌های خورشیدی سلول‌های خورشیدی غیرآلی بر پایه سیلیکون هستند. اگرچه این سلول‌ها منجر به تولید انرژی زیاد می‌شوند، اما هزینه‌ی ساخت و تولید این سلول‌ها بالاست. نسل بعدی، سلول‌های خورشیدی لایه نازک هستند و سلول‌های سیلیکونی بی‌شکل در این رده قرار دارند. نسل سوم سلول‌های خورشیدی نانوساختار هستند و سازوکار عملکرد آن‌ها متفاوت از دو دسته اول است. در یک

\*نویسنده مسئول، تلفن: ۰۲۳-۳۲۳۹۵۲۷۰، نامبر: ۰۲۳-۳۲۳۹۵۲۷۰، پست الکترونیکی: mbrahmani@shahroodut.ac.ir

آن‌ها و ضخامت لایه  $\text{TiO}_2$  عوامل مهمی در کارکرد سلول هستند. برای مثال، اگرچه فاز روتیل از نظر ترمودینامیکی پایدارترین فاز  $\text{TiO}_2$  است، اما اغلب در سلول‌های خورشیدی رنگدانه‌ای از فاز آناناتز این اکسید استفاده می‌شود که گاف انرژی بیشتری دارد بهطوری که انرژی تراز رسانش و سطح فرمی آن بالاتر است. این باعث می‌شود که در یک سلول خورشیدی، ولتاژ مدار باز سیستم که به تراز فرمی این اکسید بستگی دارد، افزایش یابد. گاف انرژی  $\text{TiO}_2$  برای فاز آناناتز حدود  $3.25\text{ eV}$  و برای فاز روتیل حدود  $3.05\text{ eV}$  گزارش شده است [۱۴].

در این پژوهش، روش گرمکافت افشه‌های بهدلیل مزیت‌هایی چون مقرون به صرفه بودن، عدم نیاز به خلاً و پوشش دهی یکنواخت و با کیفیت بالا برای ساخت فتوآند با لایه‌نشانی  $\text{FTO}$  و  $\text{TiO}_2$  استفاده شد [۱۵-۱۸]. با این روش، لایه‌های نازک  $\text{TiO}_2$  روی زیرلایه‌های شیشه و  $\text{FTO}$  نشانده شد و اثر نوع زیر لایه، پالسی کردن افشه و حجم محلول اولیه [۱۵، ۱۹] بر ویژگی‌های لایه‌ها بررسی گردید.

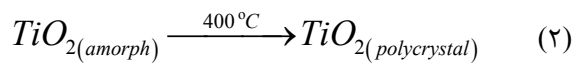
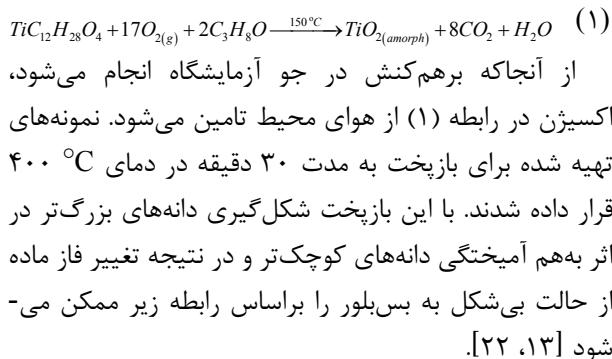
#### روش آماده سازی نمونه

همه مواد مورد استفاده در این پژوهش با خلوص بالا و بیشتر از شرکت مرک بوده و بدون بازپالایش بلافضله استفاده شدند. جرم با ترازوی دیجیتال با دقت  $0.001\text{ g} \pm 0.0001\text{ g}$  و حجم محلول با میکروبیپت با دقت  $1\text{ }\mu\text{L} \pm 1\text{ }\mu\text{L}$  و دما با دقت  $1^\circ\text{C} \pm 1^\circ\text{C}$  اندازه‌گیری شد. برای برداشتن محلول‌های با حجم بیشتر از پیپت و استوانه مدرج با دقت  $1\text{ mL} \pm 1\text{ mL}$  استفاده شد. زیرلایه نقش نگهدارنده مکانیکی لایه نازک را داشت. در تهیه‌ی لایه نازک نبود آلدگی امری ضروری است. در این پژوهش، نخست زیر لایه‌ایی از جنس شیشه با آب و صابون تمیز شده و سپس در آب یون‌زدایی شده، با  $60\%$  اتانول و  $40\%$  استون غوطه‌ور گردیدند. پس از آن، تمیزکاری پایانی با قرار دادن زیرلایه‌ها در دستگاه فراصوت به مدت ده دقیقه در دمای اتاق انجام شد. برای لایه‌نشانی الکترود رسانای شفاف، لایه‌های نازک  $\text{FTO}$  به روش گرمکافت افشه‌ای و به صورت غیرپالسی بر زیر لایه‌های شیشه لایه‌نشانی گردیدند. سنتز  $\text{FTO}$  به این روش در مقالات مختلف گزارش شده است [۲۰]. لایه‌های نازک  $\text{FTO}$ ، به عنوان الکترود در مععرض تابش نور، باید افزون بر رسانایی الکتریکی از شفافیت بالایی نیز برخوردار باشند. برای آماده سازی محلول،  $1.0\text{ mL}$   $\text{SnCl}_4 \cdot 5\text{H}_2\text{O}$  (با خلوص  $99.7\%$  از شرکت مرک) در  $20\text{ mL}$  اتانول، روی همزن

سلول‌های خورشیدی رنگدانه‌ای بدليل بازدهی خوب و هزینه ساخت کم، بسیار مورد توجه بوده‌اند [۴]. در این نوع سلول، لایه‌ی رنگدانه‌ای که جذب سطح نیمرسانای اکسید فلزی (فوتوآند) شده است نور خورشید را جذب کرده و یک الکترون را به نوار رسانش آن منتقل می‌کند. یک سلول خورشیدی رنگدانه‌ای از دو الکترود کاتد و آند تشکیل می‌شود. این الکترودها در سلول‌های خورشیدی رنگدانه ای الکترود کار (آند) و الکترود پلاتین (کاتد) نامیده می‌شوند. الکترود کار (فوتوآند) اغلب از اکسیدهای فلزی مختلفی از جمله اکسید تیتانیوم، اکسید روی و اکسید قلع بر زیرلایه‌های رسانا ساخته می‌شوند. زیرلایه‌های رسانا از شیشه‌های پوشیده شده با اکسید قلع آلاییده با فلور (FTO) یا اکسید ایندیوم آلاییده با قلع (ITO) تشکیل شده اند [۱، ۵، ۲، ۱۵] و به روش‌های متفاوتی چون سل-ژل [۶، ۷، ۸]، افسانه‌ای [۹، ۱۰]، گرمایی [۱۱] و لایه‌نشانی باریکه الکترونی [۱۰] تهیه می‌شوند. تاکنون برای اکسیدهای فلزی گوناگونی ساخت سلول خورشیدی بررسی شده‌اند. دی‌اکسید تیتانیوم ( $\text{TiO}_2$ ) با گاف نواری  $3.2\text{ eV}$  از مهم‌ترین اکسیدهای نیمرسانا بوده که به طور گسترده در سلول‌های خورشیدی مورد استفاده قرار گرفته است، زیرا تاکنون بیشترین بازده با استفاده از  $\text{TiO}_2$  به دست آمده است [۱۱، ۵].

دی‌اکسید تیتانیوم پودری سفید رنگ با سه فاز بلوری آناناتز، روتیل و بروکیت است [۹، ۱۲]. بررسی‌ها نشان داده‌اند که فاز روتیل که از کلسینه کردن فاز آناناتز در دماهای بالا بدست می‌آید پایدارتر از آناناتز است، اما این پایداری وقتی اندازه دانه به کمتر از  $14\text{ nm}$  بررس برعکس می‌شود. با این حال، فار آناناتز فعالیت فتوکاتالیزوری بالاتری نسبت به روتیل دارد و از این‌رو، بیشتر در قطعه‌های فتوکاتالیزوری و فوتولولتایی استفاده شده است [۱۳]. بسیاری از ویژگی‌های دی‌اکسید تیتانیوم به شرایط و روش ساخت آن بستگی دارد. هر چه روش سنتز نانوساختار بتواند ما را به داشتن ذراتی با سطح موثر بالا و در نتیجه جذب رنگ بیشتر نزدیکتر کند کارایی سلول افزایش می‌یابد. به طور خلاصه اساس کار سلول خورشیدی چنین است که جذب نور خورشید توسط رنگدانه‌ها صورت می‌گیرد، الکترون‌های برانگیخته از طریق لایه متخلخل  $\text{TiO}_2$  به مدار خارجی منتقل شده و مدار جریان کامل می‌گردد [۵]. ویژگی‌های لایه متخلخل شامل نانوذرات  $\text{TiO}_2$  در سلول‌های خورشیدی رنگدانه‌ای می‌تواند رابطه‌ای مستقیم با روش تهیه نانوذرات داشته باشد. اندازه ذرات، ساختار بلوری

افشاندن ای و ۳۰ ثانیه مکث و دمای گرمکن  $150^{\circ}\text{C}$  بر دو زیرلایه شیشه و FTO تهیه شدند. برای بررسی اثر حجم محلول اولیه، لایه‌های نازک  $\text{TiO}_2$  بر روی دو زیرلایه شیشه و FTO به این روش با حجم  $350\text{ mL}$  نیز تهیه شدند. واکنش شیمیایی که منجر به تشکیل لایه نازک  $\text{TiO}_2$  می‌شود، به صورت زیر آمده است [۲۱].



در این پژوهش، اثر زیرلایه (شیشه (G) یا (F) FTO) چگونگی افشاندن (پالسی (P) یا غیرپالسی (NP)) و اثر حجم محلول اولیه ( $200$  یا  $350\text{ mL}$ ) بررسی شد. در جدول ۲ نام نمونه‌های تهیه شده و پارامترهای مورد بررسی بهروش گرماکافت افشانه‌ای آورده شده است.

ویژگی‌های ساختاری نمونه‌ها با تحلیل الگوی پراش پرتوی ایکس (XRD) ثبت شده با دستگاه Unisance S300 با طول موج  $1,540.56\text{ \AA}$  در گستره زاویه‌ای  $2\theta = 10^{\circ}-80^{\circ}$  و ریخت شناسی سطح نمونه‌ها با میکروسکوپ الکترونی رویشی گسیل میدانی مدل Hitachi s.4160 ۱۸۰۰ nm بررسی شد. برای مشخصه‌یابی نوری نمونه‌ها در گستره طول موجی  $1100 - 300\text{ nm}$  از Shimadzu UV-Vis-NIR ۱۸۰۰ طیف‌نگار spectrophotometer استفاده شد. مقاومت الکتریکی ورقه‌ای (مقاومت الکتریکی در واحد سطح) نمونه FTO با دستگاه کاوه چارسوزنی مدل Jandel اندازه گیری شد.

مغناطیسی قرار داده شد تا به طور همگن مخلوط شوند. سپس  $113.0\text{ g}$  پودر  $\text{NH}_4\text{F}$  (با خلوص  $98\%$  از شرکت مرک) به آن اضافه شد. پس از حل شدن کامل  $\text{NH}_4\text{F}$  در محلول، مقدار  $1\text{ mL}$  آب یون‌زدایی شده به آن اضافه شد. در پایان برای شفاف شدن محلول، حدود  $1\text{ mL}$  اسید هیدروکلریک (HCl) با خلوص  $37\%$ ، شرکت مرک) به صورت قطره‌ای و به آهستگی به آن اضافه گردید تا محلولی شفاف و مناسب برای استفاده در دستگاه گرما کافت افشانه‌ای بدبست آید. دستگاه افشانه پایرولیزیز مورد استفاده در این پژوهش امکان کنترل دما، فشار، و آهنگ افشاندن را با دقت خوبی فراهم می‌کند. دمای زیرلایه در لایه‌نشانی  $500^{\circ}\text{C}$  FTO، آهنگ افشانه  $5\text{ mL/min}$ ، فشار  $35\text{ cm bar}$  و فاصله‌ی بین افشانک و زیرلایه  $2.5\text{ cm}$  تنظیم شد. پس از لایه‌نشانی، نمونه‌ها به طور طبیعی در دستگاه افشانه تا دمای اتاق سرد شدند. ویژگی‌های لایه‌های دست آمده شامل ساختار بلوری، ریخت شناسی سطح نمونه‌ها و مشخصه‌های نوری از جمله تغییرات طیف عبور و جذب نوری نمونه‌ها بررسی شد.

در مرحله بعد، لایه‌های نازک  $\text{TiO}_2$  بهروش گرماکافت افشانه‌ای روی دو زیرلایه شیشه و FTO نشانده شدند. سنتز با روش افشانه در مقالات دیگران نیز گزارش شده است [۲۱]. برای لایه‌نشانی اکسید تیتانیوم، نخست زیرلایه‌ای شیشه و لایه‌های FTO تهیه شده در مرحله پیش، با آب یون‌زدایی شده در حمام فراصوت به مدت ۲ دقیقه و سپس با استون به مدت ۲۰ دقیقه شستشو داده شدند. در اینجا ایزوپروپوکسید از تیتانیوم (TTIP) با خلوص  $99.7\%$  و ایزوپروپانول  $99.7\%$  شرکت مرک استفاده شد. TTIP در  $200\text{ mL}$  ایزوپروپانول حل شده و سپس محلول روی همزن مغناطیسی در دمای  $50^{\circ}\text{C}$  برای ۱۵ دقیقه نگه داشته شد. برای لایه‌نشانی فاصله افشانک تا زیرلایه شیشه یا  $15\text{ cm}$  FTO در نظر گرفته شد. در جدول ۱، پارامترهای مختلف لایه‌نشانی آورده شده است.

نمونه‌ها در دستگاه افشانه به صورت طبیعی سرد شدند. برای بررسی اثر نوع افشانه، نمونه‌ها به صورت پالسی  $5\text{ ثانیه}$

جدول ۱ پارامترهای سنتز لایه نازک لایه نازک  $\text{TiO}_2$  بر زیرلایه FTO

آنگ افشاندن	۳ $\text{mL/min}$
غلظت	۴ M
حجم محلول اولیه	۲۰۰ $\text{mL}$
ارتفاع افشانک	۱۵ $\text{cm}$
فشار	۱.۵ bar

جدول ۲ نام گذاری نمونه‌های لایه نازک  $\text{TiO}_2$  سنتز شده به روش گرم‌اکافت افشارنیا.

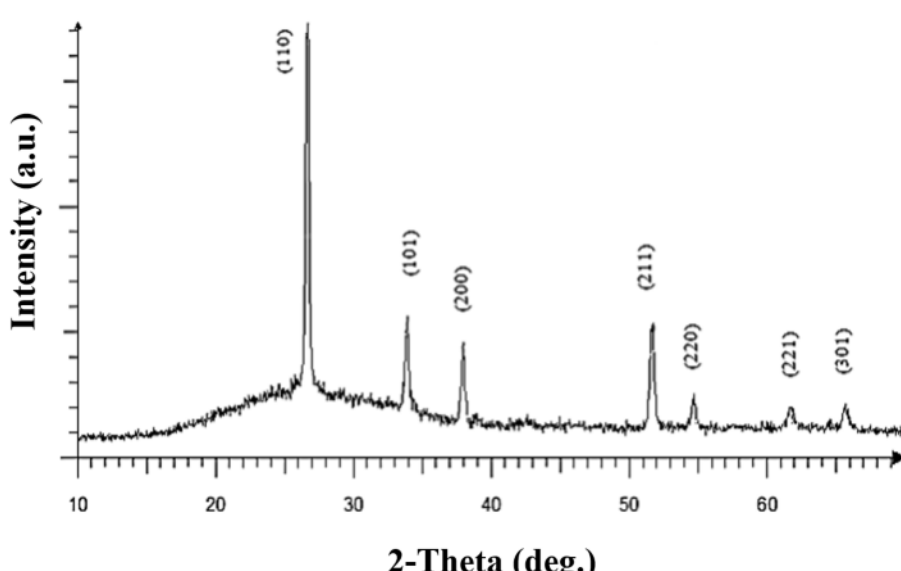
نام نمونه	نوع زیرلایه	حجم محلول اولیه	روش افشارنیا
NPG200	شیشه	۲۰۰ mL	غیرپالسی
NPF200	FTO		
PG200	شیشه	۲۰۰ mL	پالسی
PF200	FTO		
PG350	شیشه	۳۵۰ mL	پالسی
PF350	FTO		

و اکسید قلع در آن مشخص شده‌اند و نشانگر رشد اکسید تیتانیوم در فاز آناتاز است. در الگوهای هر دونمنه‌ی پالسی و غیرپالسی روی زیرلایه FTO، قله‌های  $\text{TiO}_2$  با ساختار چارگوشی و فاز آناتاز در  $61.9^\circ$  و  $54.9^\circ$ ،  $38.1^\circ = 2\theta$  شده‌اند (شکل ۲ الف). این قله‌ها با کارت استاندارد JCPDS شماره ۱۷۶۴-۱۰۷۳-۱۰۷۳ همخوانی دارند [۲۳]. قله‌های دیگر در شکل ۲ الف مربوط به ساختار چارگوشی اکسید قلع است که در شکل ۱ شاخص‌گذاری شده است. همچنین هم‌راستا بودن فاز زیرلایه FTO و  $\text{TiO}_2$  باعث رشد ساختار روتیل اکسید تیتانیوم شده است. این در حالی است که همه لایه‌های رشد داده شده در دو حالت پالسی و غیرپالسی بر زیرلایه شیشه دارای ساختار بی‌شکل هستند و در الگوی پراش پرتو ایکس این نمونه‌ها قله‌ی مشخصی ظاهر نشده است (شکل ۲ ب).

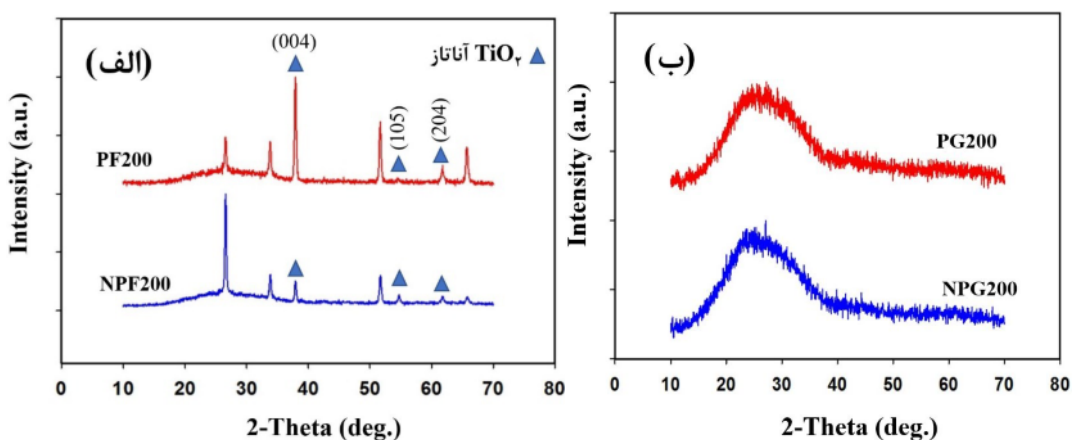
### بحث و بررسی ویژگی‌های ساختاری

الگوی پراش پرتو ایکس (XRD) نمونه FTO سنتز شده بر ZRD زیرلایه شیشه در شکل ۱ نشان داده شده است. الگوی نمونه بیان‌گر رشد لایه FTO در ساختار چارگوشی است. قله‌های مربوط به  $\text{SnO}_2$  در FTO، با کارت استاندارد JCPDS شماره ۴۱-۱۴۴۵ با ثابت‌های شبکه  $a=4.73820$ ,  $b=4.73820$ ,  $c=3.18710$  Å همخوانی دارند. قله‌های اصلی  $\text{SnO}_2$  در الگوی پراش پرتو ایکس این نمونه در زوایای پراشی  $33.86^\circ$  و  $26.62^\circ = 2\theta$  در شکل مشخص شده است [۲۰].

الگوی پراش پرتو ایکس نمونه‌های دی‌اکسید تیتانیوم سنتز شده به دو روش افشارنیا پالسی و غیرپالسی با حجم محلول اولیه ۲۰۰ mL در شکل ۲ آورده شده است. قله‌های اکسید تیتانیوم



شکل ۱ الگوی پراش پرتو ایکس لایه‌ی رسانای شفاف FTO.



شکل ۲ الگوی پراش پرتو X لایه‌های تهیه شده به روش افشانه پالسی و غیرپالسی با حجم محلول اولیه ۲۰۰ mL و (الف) زیرلایه FTO و (ب) زیرلایه شیشه.

در اینجا  $\beta$  پهنا در نیم شدت بیشینه (FWHM) قله پراش در زاویه  $2\theta$  بر حسب رادیان است.

برایه داده‌های مربوط به تحلیل ساختاری می‌توان کمیت‌های دیگری چون کرنش و چگالی در رفتگی را نیز محاسبه کرد. براساس روش ویلیامسون – هال، کرنش ( $\delta$ ) ناشی از ناکاملی‌های بلوری از بزرگی پهنا در نیم شدت بیشینه قله‌های پراشی نمونه‌ها به دست آمد [۲۴]:

$$\varepsilon = \frac{\beta}{4 \tan \theta} \quad (5)$$

همچنین چگالی در رفتگی ( $\delta$ ) که به عنوان طول خطوط در رفتگی در واحد حجم بلور تعریف می‌شود از رابطه زیر محاسبه شد [۲۵]:

$$\delta = \frac{1}{D^2} \quad (6)$$

بدین ترتیب، برایه داده‌های الگوی پراش پرتو X، اندازه بلورک‌ها ( $D$ )، چگالی در رفتگی‌ها ( $\delta$ )، کرنش‌های بلوری ( $\varepsilon$ ) و فاصله صفحات بلوری ( $d_{hkl}$ ) برای نمونه‌ها محاسبه شدند که در نتایج در جدول ۳ گزارش شده است. دیده می‌شود که در نمونه‌ی پالسی تهیه شده زیرلایه FTO، اندازه بلورک‌ها نسبت به نمونه‌ی غیرپالسی بیشتر بوده که نشانده‌نده کیفیت بلوری بالاتر این نمونه است. همچنین در نمونه‌ی تهیه شده با حجم ۲۰۰ mL بر زیرلایه FTO، اندازه بلورک نسبت به نمونه‌ی ۳۵۰ mL بیشتر است. کرنش نمونه‌ها تقریباً ثابت بوده است. اما چگالی در رفتگی‌ها در نمونه غیرپالسی بالاتر بوده است که نشان می‌دهد افساندن پالسی محلول باعث شکل گیری ساختار بلوری با کیفیت تر می‌شود.

شکل ۳ اثر تغییر حجم محلول اولیه بر ویژگی‌های ساختاری لایه‌های نازک دی‌اکسید تیتانیوم را نشان می‌دهد. با توجه به نتایج بهتر لایه‌نشانی پالسی نمونه‌ها با حجم ۳۵۰ mL ناشی از تهیه شده بر زیرلایه شیشه با افزایش حجم محلول اولیه افسانه، قله‌ای ظاهر شده (شکل ۳ الف) و برای نمونه‌های بدست آمده بر زیرلایه FTO نیز شدت قله‌ها افزایش یافته است (شکل ۳ ب). قله‌های TiO<sub>2</sub> مربوط به فاز آناتاز و ساختار چارگوشی هستند و با کارت JCPDS به شماره ۱۷۶۴-۰۷۳ همخوانی دارند. دیگر قله‌ها مربوط به SnO<sub>2</sub> در ساختار FTO با کارت استاندارد JCPDS به شماره ۴۱-۱۴۴۵ همخوانی دارند. دیده می‌شود که برای نمونه سنتز شده بر زیرلایه شیشه با حجم ۳۵۰ mL نیز قله ارجحی در راستای صفحات بلوری (۱۰۱) در زاویه برآگ  $2\theta = 25.9^\circ$  برای TiO<sub>2</sub> تشکیل شده است.

برای تعیین فاصله بین صفحات بلوری (d) از قانون برآگ استفاده شد.

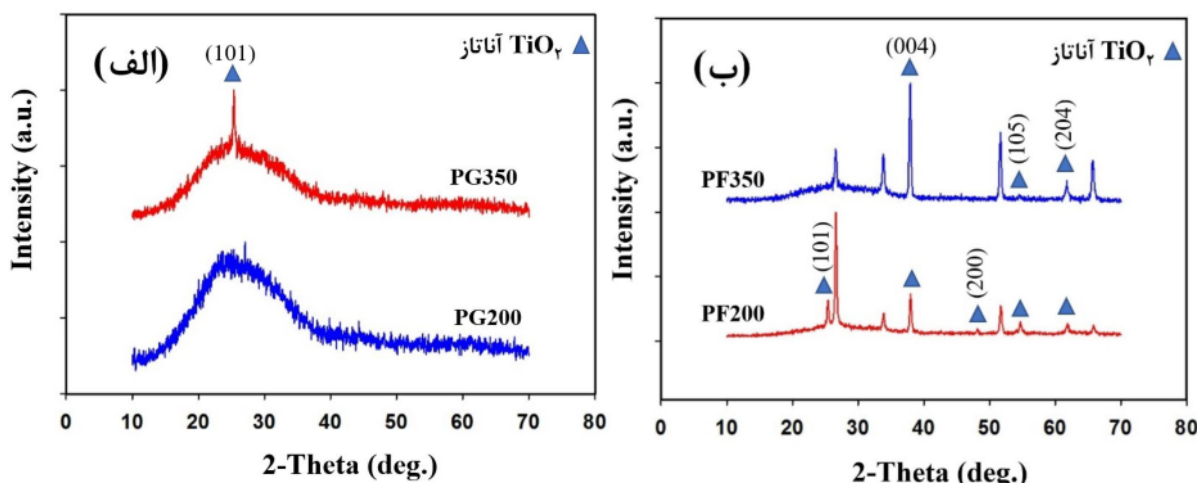
$$2d_{hkl} \sin(\theta_{hkl}) = n\lambda \quad (3)$$

در این رابطه،  $d_{hkl}$  فاصله بین صفحات بلوری با شاخص‌های میلر  $hkl$ ،  $\theta_{hkl}$  زاویه بین محور پرتو و صفحه بلوری (زاویه برآگ)،  $n$  مرتبه پراش و  $\lambda$  طول موج پرتو X (۰.۰۹۴۰۵۶ Å) است. همچنین براساس زاویه برآگ قله‌ها اندازه میانگین بلورک‌ها ( $D$ ) با رابطه شرمن محاسبه شد [۱۸]:

$$D = \frac{0.9\lambda}{\beta \cos \theta} \quad (4)$$

جدول ۳ مقادیر اندازه بلورکها (D)، چگالی دررفتگی‌ها ( $\delta$ )، کرنش‌های بلوری ( $\varepsilon$ ) و فاصله صفحات ( $d_{hkl}$ ) محاسبه شده در فاز آناتاز برای نمونه‌های سنتز شده

نمونه	$2\theta$ (deg.)	FWHM	D (nm)	$\varepsilon$	$d_{hkl}$ (Å)	$\delta$ (nm) $^{-1}$
NPF200	۴۷,۲۷	۰,۰۰۵۶	۲۲,۵۸	۰,۰۰۱۲	۰,۰۳۰	۰,۰۰۱۹
PF200	۵۴,۲۸	۰,۰۰۵۱	۳۰,۴۰	۰,۰۰۱۱	۰,۰۳۵۴	۰,۰۰۱۱
PF350	۵۴,۲۸	۰,۰۰۵۱	۳۰,۴۰	۰,۰۰۱۱	۰,۰۳۵۱	۰,۰۰۱۱
PG350	۲۴,۶۰	۰,۰۰۵۲	۲۶,۱۵	۰,۰۰۱۲	۰,۰۱۶۴	۰,۰۰۱۴



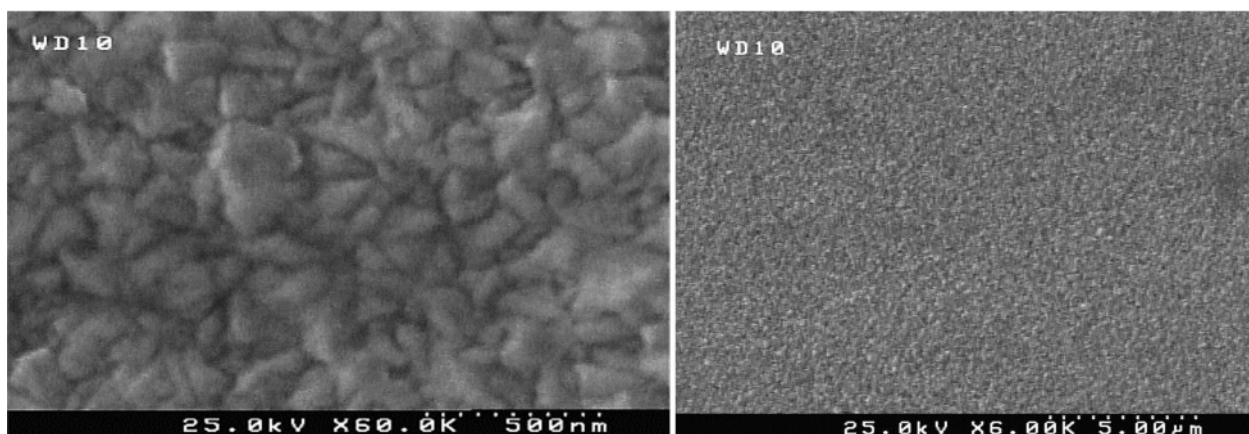
شکل ۳ الگوی پراش پرتو X لایه‌های تهیه شده به روش افشارنه پالسی با دو حجم محلول اولیه ۲۰۰ و ۳۵۰ mL و (الف) زیرلایه شیشه و (ب) زیرلایه FTO

در پایان، فوتوآند تهیه شده به صورت یک ساختار اسفنجی با حفره‌ها و دیواره‌هایی نانو مقیاس است. این ساختار روی زیرلایه FTO باعث افزایش نسبت سطح به حجم و به طور همزمان افزایش مسیر طی شده توسط نور درون فوتوآند و بهبود عملکرد سلول خورشیدی می‌گردد. با مقایسه شکل‌های ۵ و ۶ دیده می‌شود که در مقیاس  $10 \mu\text{m}$ ، ترک‌های بیشتری در سطح نمونه سنتز شده بر FTO به روش غیرپالسی وجود دارد و به طور کلی برای هر دو نمونه سنتز شده غیرپالسی بر شیشه و FTO ضخامت دیواره‌ها کم است و حفره‌های بیشتری وجود دارد. این در حالی است که نمونه‌های پالسی چگال‌تر به نظر می‌رسند. ضخامت دیواره‌ها به ویژه در نمونه PF200 زیاد و چگالی حفره‌ها در آن کم است و یک ساختار رشته ای درهم تنیده یکنواخت در سطح این نمونه دیده می‌شود (شکل ۶ الف). این ساختار باعث افزایش مسیر طی شده توسط نور درون لایه‌ها به دلیل اثر پراکندگی می‌شود. در نتیجه با افزایش

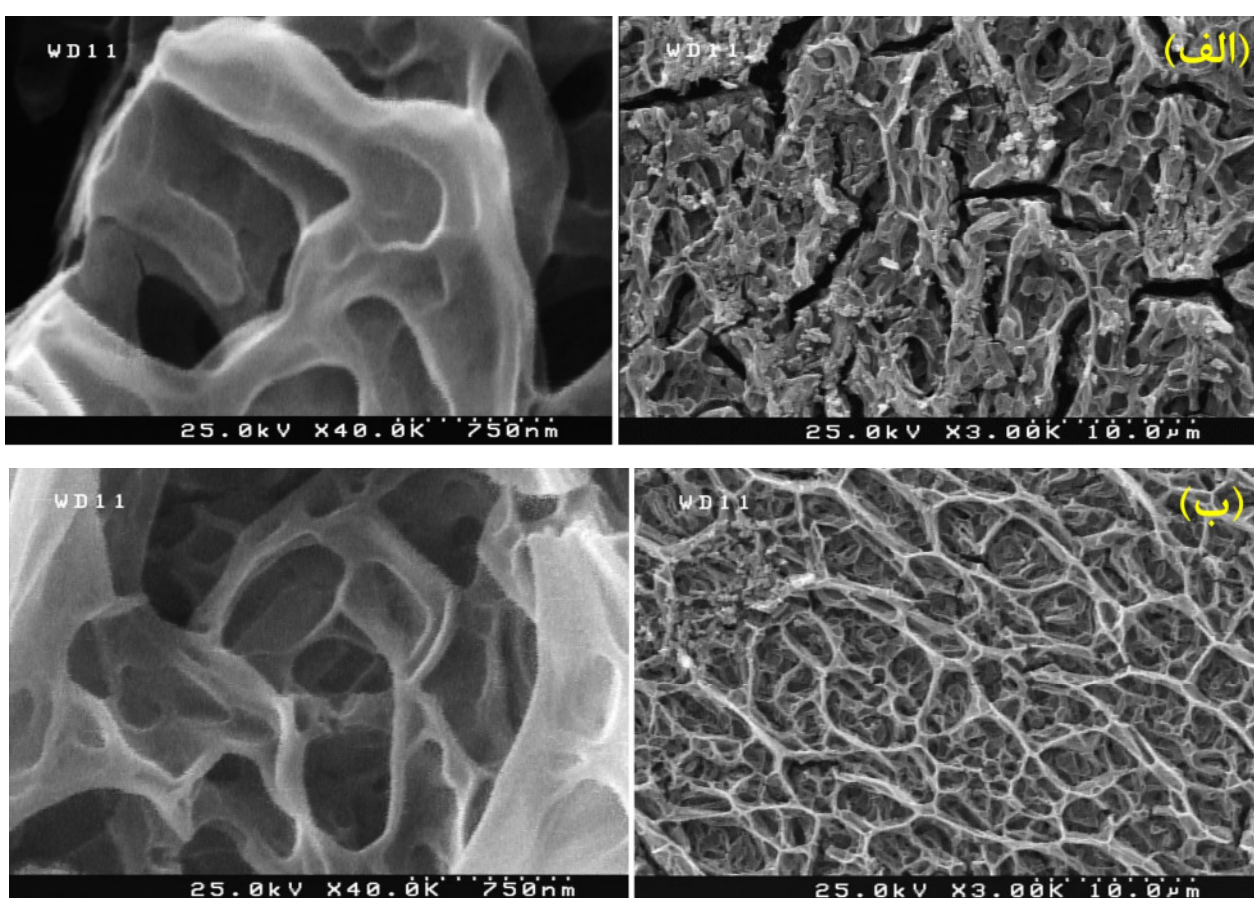
ریخت‌شناسی سطح نمونه‌ها برای ریخت‌شناسی سطح لایه‌ها از میکروسکوپ الکترونی روبشی گسیل میدانی (FESEM) استفاده شد. شکل ۴ تصاویر بدست آمده از سطح لایه‌ی رسانای FTO در مقیاس‌های  $5 \mu\text{m}$  و  $500 \text{ nm}$  را نشان می‌دهد. دیده می‌شود که ساختار سطح همه نمونه‌ها به طور یکنواخت رشد یافته است و شبیه به دانه‌های مشبک متراکم دیده می‌شود و بدون هرگونه حفره و تخلخل است. دانه‌ها در همه سطح نمونه به طور یکنواخت توزیع شده‌اند. متوسط اندازه دانه‌ها با اندازه گیری  $50 \text{ nm}$  با نرم افزار تحلیل تصویر دیجیتالیزr حدود  $100 \text{ nm}$  برآورد شد. شکل ۵ تصاویر سطح لایه‌های تهیه شده به روش غیرپالسی با حجم محلول اولیه  $200 \text{ mL}$  بر زیرلایه‌های FTO و شیشه و شکل ۶ تصاویر سطح نمونه‌های لایه‌نشانی شده به روش پالسی بر زیرلایه‌های FTO و شیشه با دو حجم محلول اولیه  $200$  و  $300 \text{ mL}$  را در دو مقیاس  $10 \mu\text{m}$  و  $750 \text{ nm}$  نشان می‌دهند.

در بین نمونه‌های سنتر شده بر زیرلایه شیشه نیز نمونه PF200 GV350 شباهت ریختشناصی بیشتری به نمونه دارد. این مشاهده‌ها با نتایج طیف نگاری جذب نور تایید شده است.

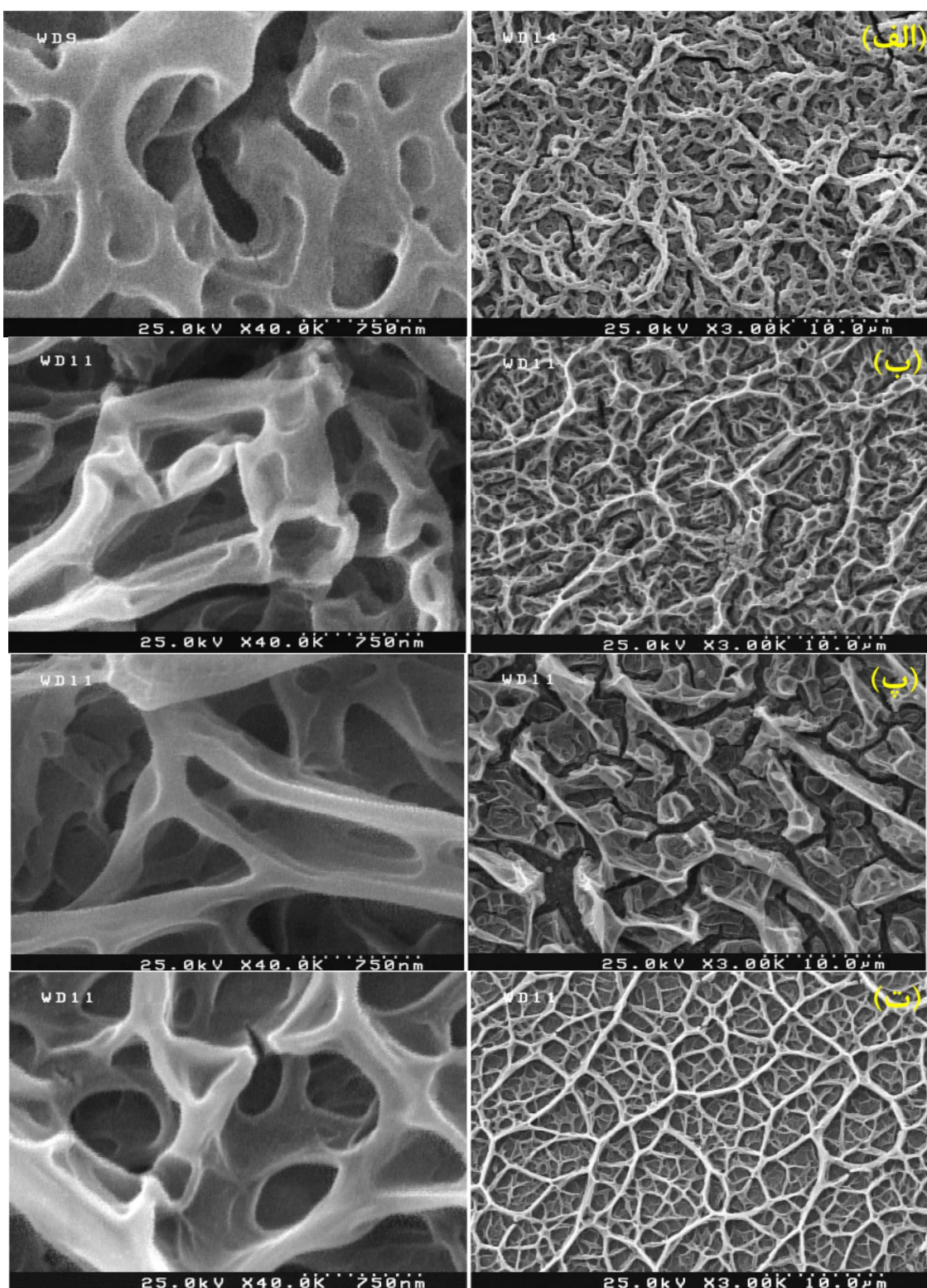
برداشت فوتون‌ها توسط مولکول‌های رنگدانه، جریان نوری به نسبت بالایی ایجاد شده و موجب کارایی بیشتر سلول‌های خورشیدی ساخته شده می‌گردد [۲۳]. در نمونه PF350، قطر دیواره‌ها کاهش و در نتیجه تراکم حفره‌ها افزایش یافته است.



شکل ۴ ریختارشناسی سطح نمونه رسانای شفاف در نقش فتوآند در مقیاس‌های ۵ $\mu\text{m}$  و ۵۰۰ nm.



شکل ۵ تصاویر FESEM نمونه‌های سنتز شده با حجم محلول اولیه ۲۰۰ mL در حالت غیرپالسی (الف) زیرلایه FTO و (ب) زیرلایه شیشه در دو مقیاس ۱۰ $\mu\text{m}$  و ۷۵۰ nm



شکل ۶ تصاویر FESEM نمونه‌های لایه‌نشانی شده به صورت پالسی بر زیرلایه FTO با حجم محلول اولیه (الف) ۳۵۰ mL، (ب) ۲۰۰ mL، (پ) ۷۵۰ nm و بر روی زیرلایه شیشه با حجم محلول اولیه (ب)، (پ)، (ت) ۳۵۰ mL در دو مقیاس ۱۰ μm و ۷۵۰ nm

### ویژگی‌های نوری

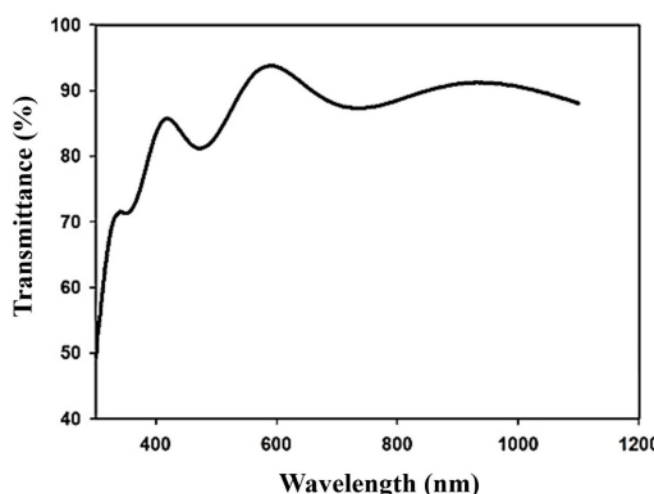
نمونه اکسید تیتانیوم لایه‌نشانی شده بر زیرلایه شیشه در حالت پالسی، لبه جذب در حدود ۳۷۰ nm قرار دارد. میزان جذب برای نمونه اکسید تیتانیوم لایه‌نشانی شده بر زیرلایه FTO در حالت پالسی افزایش یافته و در حدود ۳۹۰ nm قرار گرفته است. بنابراین می‌توان گفت جذب نوری برای نمونه رشد یافته که بر زیرلایه FTO به روش لایه‌نشانی پالسی (نمونه PF200) بیشتر است. کاهش جذب در نمونه‌های تهیه شده به روش افشارندن غیرپالسی محلول را می‌توان به ضخامت کمتر این نمونه‌ها در مقایسه با نمونه‌های پالسی نسبت داد. علت این کاهش ضخامت چشمگیر با افشارندن غیرپالسی محلول را می‌توان به تبخیر قطره‌های محلول افشارنده پیش از برخورد به سطح زیرلایه و همچنین پراکنده شدن قطره‌هایی که منجر به تشکیل نانوذرات  $TiO_2$  جامد می‌شوند و به سطح زیرلایه نمی‌چسبند نسبت داد. بررسی طیف عبور نور نمونه‌ها نیز نشان داد که میانگین عبور نور در طول موج ۵۵۰ nm برای نمونه PF200 حدود ۷٪ و برای نمونه PG200 حدود ۸٪ است. همچنین میانگین عبور نور در طول موج ۵۵۰ nm برای نمونه‌های غیرپالسی برای نمونه NPF200 حدود ۷٪ و برای نمونه NPG200 در حدود ۳٪ است. دلیل کاهش عبور نور در نمونه‌های پالسی را می‌توان به چگال‌تر بودن و بیشتر بودن ضخامت آن‌ها نسبت داد که باعث افزایش پراکندگی و در نتیجه افزایش جذب نور می‌شود.

گاف اپتیکی ( $E_g$ ) نمونه‌ها را می‌توان بر اساس طیف جذب ( $\alpha$ ) و با استفاده از فرمول تأکی محاسبه کرد [۱۷]:

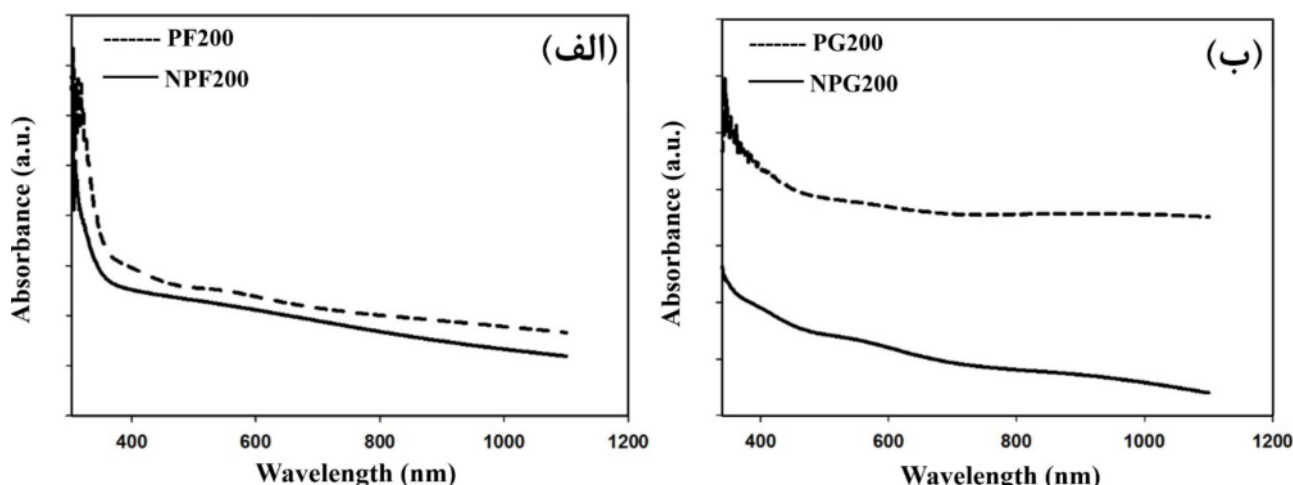
$$(ahv)^n = A(hv - E_g) \quad (7)$$

برای بررسی ویژگی‌های نوری نمونه‌ها از طیف نگار - UV-Vis در گستره طول موجی ۱۱۰۰ nm - ۳۰۰ nm استفاده شد. شکل ۷ طیف عبور نور از لایه FTO تهیه شده به روش گرما کافت افشارنده‌ای را نشان می‌دهد. دیده می‌شود که FTO در طول موج‌های بیش از ۳۰۰ nm UV را از خود عبور می‌دهند و هر چه طول موج به مرز ناحیه مرئی نزدیک‌تر می‌شود، میزان عبور بیشتر شده و در طول موج ۶۰۰ nm عبور نور به بیش از ۹۰٪ میرسد که نشانده‌نده کیفیت بالای نمونه سنتز شده است. جذب کم نور در ناحیه مرئی نکته‌ای مهم در بحث سلول‌های خورشیدی رنگدانه‌ای است. مقاومت اندازه‌گیری شده ۲۵  $\Omega$  با مقاومت‌سنج برای این زیرلایه رسانای شفاف حدود ۳۰۰ nm است. همچنین، با توجه به اینکه لبه جذب نمونه در حدود ۴/۱۳ eV قرار دارد، گاف اپتیکی مستقیم آن پهن و حدود ۹۰ درصد در ناحیه مرئی و مقاومت الکتریکی کم استفاده از FTO سنتز شده را به عنوان الکترود شفاف ممکن می‌سازد.

شکل ۸ طیف جذب نوری نمونه‌های دی‌اکسیدتیتانیوم رشد یافته در دو حالت پالسی و غیرپالسی با حجم محلول اولیه ۲۰۰ mL را بر زیرلایه‌های FTO و شیشه نشان می‌دهد. دیده می‌شود که با افزایش طول موج نور از ناحیه فرابنفش، جذب نور در نمونه‌های تهیه شده کاهش می‌یابد، اما میزان کاهش جذب برای نمونه‌های لایه‌نشانی شده بر FTO شدیدتر است. برای هر دو نوع زیرلایه، افشارندن پالسی محلول منجر به تولید نمونه‌های اکسید تیتانیوم با جذب نوری بیشتر شده است. برای



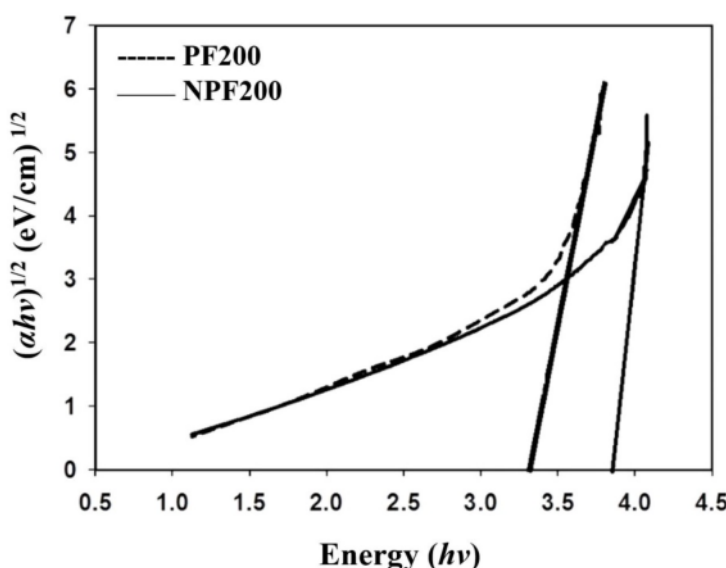
شکل ۷ طیف عبور نور از لایه FTO تهیه شده به روش گرما کافت افشارنده‌ای.



شکل ۸ طیف جذبی نمونه‌های دی‌اکسیدتیتانیوم رشد یافته در دو حالت پالسی و غیرپالسی بر زیرلایه‌های (الف) FTO و (ب) شیشه.

گاف اپتیکی از مقدار  $3.8 \text{ eV}$  برای نمونه NPF به مقدار  $3.3 \text{ eV}$  برای نمونه PF کاهش یافته است. این مقادیر با نتایج کارهای دیگران همخوانی دارد [۱۱]. کاهش گاف اپتیکی در نمونه تهیه شده به روش افشاره پالسی را می‌توان به افزایش کیفیت بلوری و افزایش اندازه بلورک‌ها نسبت داد. براساس اثر محدودیت کوانتمی، افزایش اندازه بلورک‌ها منجر به کاهش گاف نواری می‌شود [۲۵، ۲۶].

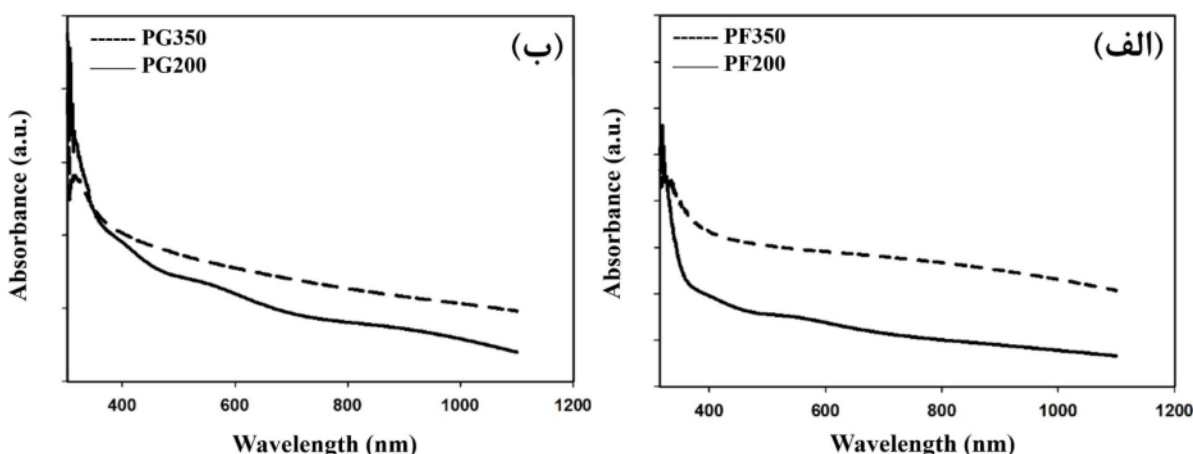
در این رابطه A یک ضریب،  $h\nu$  انرژی نور فروندی، مقدار  $2$  مربوط به گذارهای مجاز مستقیم و مقدار  $n = 0.5$  مربوط به گذارهای مجاز غیرمستقیم است. کمترین مقدار گاف در نوار انرژی به عنوان گاف اپتیکی نمونه در نظر گرفته می‌شود. نمونه‌های سنتز شده همه دارای گاف اپتیکی غیرمستقیم  $h\nu$  هستند. در شکل ۹، براساس تغییرات  $(\alpha h\nu)^{1/2}$  نسبت به گاف اپتیکی غیرمستقیم نمونه‌ها محاسبه شدند. نتایج نشان



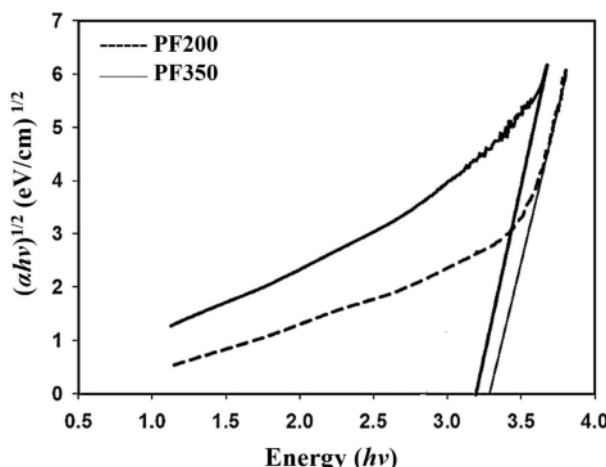
شکل ۹ نمودارهای تغییرات  $(\alpha h\nu)^{1/2}$  نسبت به انرژی فوتون فروندی ( $h\nu$ ) برای نمونه‌های پالسی و غیرپالسی بر زیرلایه FTO تهیه شده با حجم محلول اولیه  $200 \text{ mL}$

میزان عبور نور نشان می‌دهد که حجم ۲۰۰ mL برای محلول حجم بهینه است و افزایش حجم محلول اولیه به ۳۵۰ mL تأثیر چندانی در افزایش جذب نور ندارد. مقدار گاف اپتیکی برای دو نمونه سنتز شده با دو حجم محلول متفاوت بر زیرلایه FTO در شکل ۱۱ ارائه شده است. با توجه به نتایج، گاف اپتیکی برای نمونه FV200 مقدار  $\frac{3}{2}$  eV و برای نمونه FV350 مقدار  $\frac{3}{2}$  eV کاهش در گاف اپتیکی با افزایش حجم محلول اولیه می‌تواند ناشی از افزایش معایب بلوری از جمله تهی جای‌های اکسیژن در نمونه FV350 باشد که این نتایج با کارهای دیگران همخوانی دارد [۸].

شکل ۱۰ طیف جذب را برای نمونه‌های پالسی تهیه شده با حجم‌های محلول ۲۰۰ و ۳۵۰ mL بر زیرلایه‌های FTO و شیشه را در گستره ۱۱۰۰–۳۰۰ nm نشان می‌دهند. رفتار کلی طیف‌های جذب نمونه‌ها انشان دهنده آن است که لبه جذب دو نوع زیرلایه با افزایش حجم به سمت طول موج‌های بیشتر و در نتیجه انرژی کمتر جابه‌جا شده است. طیف عبور نور نیز نشان داد که میانگین عبور نور در طول موج میانگین ۵۵۰ nm برای زیرلایه شیشه از ۸٪ در نمونه با حجم محلول اولیه ۳۵۰ mL به ۵٪ در نمونه با حجم محلول اولیه ۲۰۰ mL کاهش یافته است. میزان عبور در طول موج میانگین ۵۵۰ nm برای نمونه تهیه شده بر زیرلایه FTO با حجم محلول ۳۵۰ mL مقدار ۱٪ و با ۲۰۰ mL مقدار ۶٪ است. تغییرات کم



شکل ۱۰ نمودارهای تغییرات  $(\alpha h\nu)^{1/2}$  نسبت به انرژی فوتون فروندی ( $h\nu$ ) برای نمونه‌های پالسی تهیه شده با حجم‌های محلول ۲۰۰ و ۳۵۰ mL بر زیرلایه‌های (الف) FTO و (ب) شیشه



شکل ۱۱ نمودارهای تغییرات  $(\alpha h\nu)^{1/2}$  نسبت به انرژی فوتون فروندی ( $h\nu$ ) برای نمونه‌های پالسی تهیه شده روی زیرلایه FTO با حجم‌های محلول ۲۰۰ و ۳۵۰ mL

- trends in dye-sensitized solar cells", Journal of Materials Chemistry A 9(17) (2021) 10527-10545.*
- [3] Alidaei M., Izadifard M., Ghazi M.E., "Increasing of solar cell stability using Br-doped  $CH_3NH_3PbI_3$  perovskite absorber layers", Iranian Journal of Crystallography and Mineralogy 27(1) (2019) 231-244.
- [4] Wang H., Bai Y., Wu Q., Zhou W., Zhang H., Li J., Guo L., "Rutile  $TiO_2$  nano-branched arrays on FTO for dye-sensitized solar cells", Physical Chemistry Chemical Physics 13(15) (2011) 7008-7013.
- [5] Jose R., Thavasi V., Ramakrishna S., "Metal Oxides for Dye-Sensitized Solar Cells", Journal of the American Ceramic Society 92(2) (2009) 289-301.
- [6] Yeganeh M., Badieian Baghsiyahi F., Mousavi M., "Investigation of structural and optical properties of Cr doped  $TiO_2$  synthesized at different annealing temperature by analyzing the XRD patterns and DRS spectroscopy", Iranian Journal of Crystallography and Mineralogy 27(1) (2019) 221-230.
- [7] Arunachalam A., Dhanapandian S., Manoharan C., Sridhar R., "Characterization of sprayed  $TiO_2$  on ITO substrates for solar cell applications", Spectrochimica Acta Part A: Molecular and Biomolecular Spectroscopy 149 (2015) 904-912.
- [8] Doubi Y., Hartiti B., Labrim H., Fadili S., Tahri M., Belafhaili A., Siadat M., Thevenin P., "Experimental study of properties of  $TiO_2$  thin films deposited by spray pyrolysis for future sensory applications", Applied Physics A 127(6) (2021) 475.
- [9] Habibi Jetani G., Rahmani M.B., "TiO<sub>2</sub>/GO nanocomposites: synthesis, characterization, and DSSC application", The European Physical Journal Plus 135(9) (2020) 21.
- [10] Khakpour A., Ahmadi K., Kavehey G., "The effect of copper nano-cluster as sublayer on optical and crystalline properties of titanium

## برداشت

در این پژوهش، ویژگی‌های لایه‌های نازک نanosاختار دی‌اکسیدتیتانیوم و چگونگی لایه‌نشانی آن‌ها بهروش گرماکافت افشارهای برای کاربرد به عنوان فوتوآند بررسی شد. نمونه‌ها با دو روش افشاردن پالسی و غیرپالسی و با دو حجم محلول اولیه ۲۰۰ و ۳۵۰ mL بر دو زیرلایه مقاوت شیشه و FTO لایه‌نشانی شدند. ریختارشناسی سطح، ویژگی‌های ساختاری و اپتیکی لایه نازک دی‌اکسیدتیتانیوم در این پژوهش بررسی شد، براین اساس، در پایان، فوتوآند تهیه شده بهصورت یک ساختار اسفنجی با حفره‌هایی با اندازه میانگین حدود ۱۰۰ nm بودند. این ساختار باعث افزایش نسبت سطح به حجم و بهطور همزمان افزایش مسیر طی شده توسط نور درون فوتوآند و بهبود عملکرد سلول خورشیدی می‌شود. الگوی پراش پرتو ایکس نمونه پس از بازپخت در دمای ۴۰۰ °C به مدت ۳۰ دقیقه شکل گیری قله‌های (۱۰۱) و (۲۰۰) را نشان می‌دهد که  $TiO_2$  گویای رشد اکسید تیتانیوم در فاز آناتاز است. نمونه ۲۰۰ mL لایه‌نشانی شده بر FTO با حجم محلول اولیه ۳/۳ eV بهروش پالسی جذب بالای نوری، با گاف اپتیکی پهن را از خود نشان داد. این نمونه به عنوان مناسب ترین نمونه برای کاربرد به عنوان فوتوآند در سلول خورشیدی رنگدانه‌ای شناسایی شد.

## مرجع‌ها

- [1] Naderi M., Zargarshoshtari M, Kazeminejad I., "Investigation of precursor solution concentration effect on morphology and optical properties of zinc oxide nanorods for polymer solar cells application", Iranian Journal of Crystallography and Mineralogy 25(4) (2018) 885-894.
- [2] Kokkonen M., Talebi P., Zhou J., Asgari S., Soomro S.A., Elsehrawy F., Halme J., Ahmad S., Hagfeldt A., Hashmi S.G., "Advanced research

- [18] Rahmani M.B., Keshmiri S.H., Shafiei M., Latham K., Wlodarski W., du Plessis J., Kalantar-Zadeh K., "Transition from *n*- to *p*-Type of Spray Pyrolysis Deposited Cu Doped ZnO Thin Films for NO<sub>2</sub> Sensing", *Sensor Letters* 7(4) (2009) 621-628.
- [19] Arulanantham A.M.S., Valanarasu S., Kathalingam A., Jeyadheepan K., "Solution volume effect on structural, optical and photovoltaic properties of nebulizer spray deposited SnS thin films", *Journal of Materials Science: Materials in Electronics* 29(15) (2018) 12899-12909.
- [20] Riveros R., Romero E., Gordillo G., "Synthesis and characterization of highly transparent and conductive SnO<sub>2</sub>: F and In<sub>2</sub>O<sub>3</sub>: Sn thin films deposited by spray pyrolysis", *Brazilian Journal of Physics* 36(3B) (2006) 1042-1045.
- [21] Okuya M., Nakade K., Osa D., Nakano T., Kumara G.A., Kaneko S., "Fabrication of dye-sensitized solar cells by spray pyrolysis deposition (SPD) technique", *Journal of Photochemistry and Photobiology A: Chemistry* 164(1) (2004) 167-172.
- [22] Ayieko C.O., Musembi R., Waita S.M., Aduda B.O., Jain P.K., "Structural and Optical Characterization of Nitrogen-doped TiO<sub>2</sub> Thin Films Deposited by Spray Pyrolysis on Fluorine Doped Tin Oxide (FTO) Coated Glass Slides", *International journal of energy engineering* 2 (2012) 67-72.
- [23] Albulescu D., Ursu D., Rusnac L.-M., Nitu S., Miclau M., Vajda M., "Investigation of UV Dye-Sensitized Solar Cells Based on Water Electrolyte: A New Insight for Wavelength-Selective Greenhouse", *Crystals* 12(1) (2022) 98.
- [24] Ahmadipour M., Abu M.J., Ab Rahman M.F., Ain M.F., Ahmad Z.A., "Assessment of crystallite size and strain of CaCu<sub>3</sub>Ti<sub>4</sub>O<sub>12</sub> prepared via conventional solid-state reaction", *Micro & Nano Letters* 11(3) (2016) 147-150.
- dioxide layers*", *Iranian Journal of Crystallography and Mineralogy* 26(2) (2018) 505-516.
- [11] Himmah S.W., Diantoro M., Astarini N.A., Tiana S.K.G., Nasikhudin A., Hidayat A., "Taufiq, Structural, morphological, optical, and electrical properties of TiO<sub>2</sub>ZnO rods multilayer films as photoanode on dye-sensitized solar cells", *Journal of Physics: Conference Series* 1816(1) (2021) 012095.
- [12] Gharavi P.M., Mohammadi M., "The improvement of light scattering of dye-sensitized solar cells aided by a new dandelion-like TiO<sub>2</sub> nanostructures", *Solar Energy Materials and Solar Cells* 137 (2015) 113-123.
- [13] Jacob K.A., Peter P.M., Jose P.E., Balakrishnan C.J., Thomas V.J., "A simple method for the synthesis of anatase-rutile mixed phase TiO<sub>2</sub> using a convenient precursor and higher visible-light photocatalytic activity of Co-doped TiO<sub>2</sub>", *Materials Today: Proceedings* 49 (2022) 1408-1417.
- [14] Gong J., Liang J., Sumathy K., "Review on dye-sensitized solar cells (DSSCs): fundamental concepts and novel materials", *Renewable and Sustainable Energy Reviews* 16(8) (2012) 5848-5860.
- [15] Akhavan Mavardiani A., Rahmani M.B., "Effects of Spray Pyrolysis Deposition Parameters on Morphological, Optical And Structural Properties of WO<sub>3</sub> Nanostructured Thin Films", *Surface Review and Letters* 0(0) (2020) 1950203.
- [16] Breedon M., Rahmani M.B., Keshmiri S.-H., Wlodarski W., Kalantar-zadeh K., "Aqueous synthesis of interconnected ZnO nanowires using spray pyrolysis deposited seed layers", *Materials Letters* 64(3) (2010) 291-294.
- [17] Ghaleghaf E., Rahmani M.B., "Fabrication, characterization and investigation of gas sensing properties of MoO<sub>3</sub> thin films", *Iranian Journal of Crystallography and Mineralogy* 27(2) (2019) 475-486.

- integrated DSSCs", Solar Energy 225 (2021) 129-147.*
- [26] Wu K., Zhang W., Zheng Z., Debliquy M., Zhang C., "Room-temperature gas sensors based on titanium dioxide quantum dots for highly sensitive and selective H<sub>2</sub>S detection", Applied Surface Science 585 (2022) 152744.
- [25] Amir-Al Zumahi S.M., Arobi N., Mahbubur Rahman M., Kamal Hossain M., Ara Jahan Rozy M., Bashar M.S., Amri A., Kabir H., Abul Hossain M., Ahmed F., "Understanding the optical behaviours and the power conversion efficiency of novel organic dye and nanostructured TiO<sub>2</sub> based